

На правах рукописи  
УДК 535.374

Александров Борис Петрович

Численное моделирование одно- и двухдиапазонных  
непрерывных химических лазеров на молекулах HF, DF и HBr

Специальность 01.04.21. – “Лазерная физика”

АВТОРЕФЕРАТ  
диссертации на соискание учёной степени  
кандидата физико-математических наук

Москва 2009

Работа выполнена в ОАО “НПО Энергомаш имени академика В.П.Глушко”

Научный руководитель: доктор технических наук, профессор,  
академик РАН **Каторгин Борис Иванович**

Научный консультант: кандидат физико-математических наук,  
доцент **Степанов Александр Александрович**

Официальные оппоненты: доктор физико-математических наук,  
зав. теоретическим сектором НЦВО РАН  
**Бирюков Александр Сергеевич**;

кандидат физико-математических наук,  
зав. лабораторией ФИАН им. П.Н.Лебедева  
**Юрышев Николай Николаевич**

Ведущая организация: Федеральное государственное унитарное  
предприятие "Российский научный центр  
"Прикладная химия"

Защита состоится 30 марта 2009 года в 13 часов на заседании диссертационного совета Д002.023.03 ФИАН им. П.Н.Лебедева по адресу: 117924, г. Москва, Ленинский пр-т, д.53, главный корпус, конференц-зал.

С диссертацией можно ознакомиться в библиотеке ФИАН им. П.Н.Лебедева по адресу: г. Москва, Ленинский пр-т, д.53, главный корпус.

Автореферат разослан "\_\_\_" \_\_\_\_ 2009 года

Учёный секретарь  
диссертационного совета Д002.023.03

Шиканов А.С.



## ОБЩАЯ ХАРАКТЕРИСТИКА РАБОТЫ

### *Актуальность темы исследования*

В настоящее время в мире продолжаются активные работы по непрерывным химическим лазерам (НХЛ) на галогеноводородах по нескольким программам. В последние годы помимо работ, связанных с традиционными HF(DF)-НХЛ, проводятся интенсивные исследования и разработки по созданию лазеров, излучающих инфракрасное излучение в более широком спектральном диапазоне, в частности, многодиапазонных НХЛ, работающих одновременно на нескольких излучающих молекулах. К этому классу НХЛ относятся рассматриваемые в настоящей работе лазеры с одновременной генерацией излучения на молекулах HF и DF, HF и HBr.

Поскольку многочастотный спектр излучения HF-НХЛ ( $\lambda_{\text{HF}} \sim 2.6 \dots 3.1 \text{ мкм}$ ), DF-НХЛ ( $\lambda_{\text{DF}} \sim 3.7 \dots 4.05 \text{ мкм}$ ) и HBr-НХЛ ( $\lambda_{\text{HBr}} \sim 4.0 \dots 4.75 \text{ мкм}$ ) совпадает со спектром поглощения большинства атмосферных газов ( $\text{CO}_2$ ,  $\text{N}_2\text{O}$ , NO,  $\text{SO}_2$ , HCl,  $\text{C}_3\text{H}_8$ , HDO,  $\text{H}_2\text{O}$  и других), в том числе продуктов сгорания вредных и отравляющих веществ, то такие лазеры применимы для исследования газового состава атмосферы, а также для дистанционного мониторинга потенциальных очагов загрязнения. Понятно, что использование двухдиапазонных HF-DF и HF-HBr-НХЛ, а также лазеров на обертонных переходах, расширяет возможности таких диагностических исследований. Кроме этого, с их помощью могут быть получены экспериментальные данные по сравнению прохождения в атмосфере излучений с разной длиной волны в различных регионах на разных высотах, они могут найти широкое применение в научных исследованиях, связанных с воздействием на различные материалы и устройства, в промышленном производстве с применением лазерных технологий.

Одним из вариантов решения задачи создания лазеров с коротковолновым спектром ИК излучения, соответствующего одному из "окон прозрачности" атмосферы, является НХЛ на обертонных переходах молекулы HF с длиной волны излучения  $\lambda_{\text{HF}}^{\text{OT}} \sim 1.25 \dots 1.45 \text{ мкм}$ . Двукратное уменьшение длины волны излучения позволяет улучшить прохождение излучения через атмосферу вследствие меньшего поглощения парами воды, снизить вдвое дифракционный предел расходимости излучения ( $\sim \lambda$ ) и увеличить вчетверо яркость в дальней зоне ( $\sim \lambda^{-2}$ , при одинаковой выходной мощности и апертуре).

Важным этапом решения отмеченных задач является расчётно-теоретическое исследование работы НХЛ. С учётом высокой стоимости стендо-

вых экспериментов огромную роль играет численное моделирование процессов в сверхзвуковых НХЛ, оно является источником детальной информации о протекающих физических процессах, о локальных параметрах в газодинамическом тракте НХЛ, а также средством параметрической оптимизации рабочих параметров для последующей их реализации в эксперименте.

**Целью работы** является теоретическое исследование усилительных свойств и энергетических параметров

- HF- и DF-НХЛ, а также двухдиапазонного HF-DF-НХЛ с одновременной генерацией на молекулах HF и DF, при использовании сероуглерода в качестве первичного горючего;
- HF-HBr-НХЛ с одновременной генерацией на молекулах HF и HBr;
- HF-НХЛ при генерации на обертонных переходах.

**Объектом исследования** являются автономные сверхзвуковые непрерывные химические HF-, DF- и HBr-лазеры с различными вариантами конструкции щелевого соплового блока, работающие на различных топливных композициях.

**Предметом исследования** являются физико-химические процессы, происходящие в газодинамическом тракте, начиная от камеры сгорания до конца лазерной зоны, а также усилительные свойства активной среды и энергетические параметры одно- и двухдиапазонных HF-, DF- и HBr-НХЛ.

**Методом исследования** является численный эксперимент посредством разработанных соискателем пакетов программ на основе моделей, описывающих процессы в мелкомасштабных соплах и в активной среде HF-, DF- и HBr-НХЛ.

### **Научная новизна работы**

1. В рамках полной системы уравнений Навье-Стокса выполнено теоретическое исследование усилительных свойств и энергетических параметров однодиапазонных HF-, DF-НХЛ и двухдиапазонного HF-DF-НХЛ при использовании топливной композиции  $\text{CS}_2\text{-NF}_3\text{-He}$  в камере сгорания, показавшее, что при использовании сероуглерода вместо традиционного первичного горючего  $\text{D}_2$ ,  $(\text{H}_2, \text{C}_2\text{H}_4)$

- коэффициенты усиления слабого сигнала (КУСС) в активной среде HF- и DF-НХЛ в 2–3 раза превышают значения КУСС для соответствующих НХЛ с традиционным горючим;

- максимальные значения мощности достигаются при повышенных давлениях в начале лазерной зоны  $p_{res} \sim 6 \dots 10$  Торр как для HF-, так и для DF-НХЛ (для тра-

диционного горючего оптимальные давления  $p_{res} \sim 3\ldots5$  Торр), что существенно облегчает решение задачи выхлопа отработанных газов в окружающую атмосферу.

2. Создана кинетическая модель активной среды HF-HBr-NХЛ, генерирующего излучение одновременно в двух спектральных диапазонах на колебательно-вращательных переходах молекул HF и HBr.

3. В рамках полной системы уравнений Навье-Стокса выполнено теоретическое исследование усиительных и энергетических характеристик двухдиапазонного HF-HBr-NХЛ с топливной композицией ( $D_2$ ,  $F_2$ , He) / ( $H_2$ ,  $Br_2$ ), показавшее что максимальная приведённая мощность генерации на молекулах HBr достигается при оптимальном содержании брома во вторичном горючем (водороде)  $\sim 2.5\%$ .

4. Показано, что в обертонном HF-NХЛ с топливной композицией ( $D_2$ ,  $F_2$ , He) в камере сгорания

- максимальные значения коэффициентов усиления слабого сигнала, мощности и удельного энергосъёма при генерации на первом обертоне молекулы HF достигаются на тех же составах топлива в камере сгорания, что и при генерации на основном тоне в диапазоне давлений на срезе соплового блока от 2 до 9 Торр; для исследуемых сопловых блоков оптимальные составы топлива соответствуют коэффициенту избытка фтора  $\alpha \sim 1.8$ , коэффициентам разбавления гелием  $A \sim 8\ldots14$ .

- максимальные значения энергосъёма и эффективности преобразования в обертонную генерацию получены при давлении на срезе соплового блока  $p_{res} \sim 2$  Торр для всех составов топлива в камере сгорания.

### ***Практическая значимость работы***

Результаты исследований автора использованы в ряде технических предложений ОАО "НПО Энергомаш им. акад. В.П. Глушко" по тематике НХЛ.

Работы по одно- и двухдиапазонным HF-DF-NХЛ при использовании сероуглерода в качестве первичного горючего, по двухдиапазонному HF-HBr-NХЛ, по обертонному HF-NХЛ существенно расширяют практические области применения разработанных и проектируемых непрерывных химических лазеров, в частности, для научных исследований, связанных с прохождением многочастотного ИК излучения в атмосфере в различных регионах на разных высотах; дистанционным мониторингом состава атмосферы; воздействием многочастотного излучения на различные материалы и устройства.

### ***Личный вклад соискателя***

1. Созданы численные алгоритмы и расчётные программы на основе двумерных численных моделей расчёта параметров HF-, DF- и HBr-NХЛ при работе на

основном тоне и на обертонных колебаниях, в одно- и двухдиапазонном режимах (в том числе в импульсно-периодическом режиме с модуляцией добротности резонатора), включающие в себя модель расчёта газодинамических параметров потоков в соплах, а также две модели активной среды и энергетических параметров НХЛ – модель, основанная на полной системе уравнений Навье-Стокса и модель, основанная на уравнениях Навье-Стокса в приближении "узкого канала".

2. Проведено теоретическое исследование усилительных свойств активной среды, энергетических и спектральных характеристик HF и DF-НХЛ и двухдиапазонного HF-DF-НХЛ при использовании сероуглерода в качестве первичного горючего; двухдиапазонного HF-HBr-НХЛ; HF-НХЛ при генерации на обертонных переходах.

### ***Основные положения, выносимые на защиту***

1. В HF- и DF-НХЛ с топливной композиции  $\text{CS}_2-\text{NF}_3-\text{He}$  в камере сгорания использование сероуглерода вместо традиционного первичного горючего ( $\text{D}_2$ ,  $\text{H}_2$ ,  $\text{C}_2\text{H}_4$ ) позволяет получать

- активную среду HF- и DF-НХЛ с коэффициентом усиления слабого сигнала (КУСС), в 2–3 раза превышающем значения КУСС в активной среде соответствующих НХЛ с традиционным горючим;
- максимальные энергетические параметры HF- и DF-НХЛ при повышенных давлениях в начале лазерной зоны  $\sim 6\dots 10$  Торр;
- эффективную одновременную генерацию на молекулах HF и DF; необходимое соотношение мощностей излучения на частотах HF и DF регулируется соотношением количества водорода идейтерия в потоке вторичного горючего.

2. В двухдиапазонном HF-HBr-НХЛ при использовании топливной композиции ( $\text{D}_2, \text{F}_2, \text{He}$ ) / ( $\text{H}_2, \text{Br}_2$ )

- максимальная приведённая мощность генерации на молекулах HBr  $\sim 20$  Вт/см<sup>2</sup> достигается при оптимальном содержании брома во вторичном горючем (водороде)  $\sim 2.5\%$ ;

– использование цилиндрической (секторной) конструкции соплового блока вместо плоской позволяет значительно повысить энергетические характеристики генерации в полосе HBr – при радиусе соплового блока 10 см мощность излучения на молекулах HBr увеличивается в 1.5 раза  $\sim 30$  Вт/см<sup>2</sup>.

3. Для HF-НХЛ на обертонных переходах с топливной композицией ( $\text{D}_2, \text{F}_2, \text{He}$ ) в камере сгорания

- максимальные значения коэффициентов усиления слабого сигнала, мощности и удельного энергосъёма при генерации на первом обертоне молекулы HF

достигаются на тех же составах топлива в камере сгорания, что и при генерации на основном тоне в диапазоне давлений на срезе соплового блока от 2 до 9 Торр; для исследуемых сопловых блоков оптимальные составы соответствуют коэффициенту избытка фтора  $\alpha \sim 1.8$ , коэффициентам разбавления гелием  $A \sim 8\dots 14$ ;

– максимальные значения энергосъёма и эффективности преобразования в обертонную генерацию достигаются при низком давлении в активной среде  $p_{res} \sim 2$  Торр для всех составов топлива в камере сгорания.

### ***Апробация результатов исследования***

Результаты исследований, отражённые в диссертации докладывались на отраслевой научно-технической конференции, п. Смолячково Ленинградской обл., апрель, 1995 г.; на 1-ой отраслевой научно-технической конференции "Проблемы создания лазерных систем", г. Радужный, сентябрь, 1996 г.; на IV Харитоновских научных тематических чтениях "Физика лазеров. Взаимодействие лазерного излучения с веществом". г. Саров, 18–21 февраля 2002 г; на международной конференции "International Conference on Lasers, Applications, and Technologies" (LAT-2007), г. Минск, май-июнь, 2007 г.

### ***Структура и объем диссертации***

Диссертация состоит из введения, обзора литературы, 4 глав, заключения и приложения. Общий объём диссертации 139 страниц, работа содержит 3 таблицы, 42 рисунка и список литературы из 214 наименований.

## **СОДЕРЖАНИЕ РАБОТЫ**

Во **введении** обосновывается актуальность темы диссертации, сформулированы цели диссертации, приведено краткое содержание глав диссертации. Дан **краткий обзор** литературы по методам расчёта параметров течения в соплах и в зоне смешения струй НХЛ, а также обзор литературы по НХЛ на обертонных переходах.

В **главе 1** описывается методика численного моделирования параметров течения, усилительных и энергетических свойств НХЛ, которое включает в себя три последовательных этапа – расчёт термодинамически равновесной газовой смеси в камере сгорания, расчёт течения газа в соплах и расчёт параметров НХЛ в области смешения струй в лазерной зоне.

Для расчёта течения в сверхзвуковых соплах НХЛ создана эффективная двумерная модель, основанная на уравнениях Навье-Стокса в приближении "узкого канала". Выполнено тестовое сравнение с результатами расчета течения в

плоских соплах НХЛ, полученного при решении двумерных уравнений Навье-Стокса. Расхождение локальных параметров составило не более 15%.

Созданы также две модели расчёта параметров активной среды НХЛ для течения многокомпонентной химически реагирующей колебательно неравновесной газовой смеси при наличии резонансного излучения – модель, основанная на полной системе уравнений Навье-Стокса и модель, основанная на уравнениях Навье-Стокса в приближении "узкого канала".

В обеих моделях для общности рассматривается цилиндрическая конструкция соплового блока. Предполагается ламинарный характер течения, равновесное распределение по вращательным состояниям излучающих молекул. При расчёте лазерной генерации рассматривался плоско-параллельный резонатор Фабри-Перо.

В модели, основанной на полной системе уравнений Навье-Стокса, стационарное течение находится из решения нестационарной системы уравнений методом установления. Газовая смесь состоит из  $N_c$  компонентов, включая молекулы в различных колебательных состояниях. Система уравнений Навье-Стокса имеет вид:

$$\begin{aligned} \frac{\partial \rho}{\partial t} + \vec{\nabla}(\rho \vec{V}) &= 0; & \frac{\partial \rho V^\alpha}{\partial t} + \vec{\nabla}(\rho \vec{V} V^\alpha) - (\vec{\nabla} \cdot \vec{E})^{\alpha} &= -(\vec{\nabla} p)^{\alpha}; \\ \frac{\partial(\rho E)}{\partial t} + \vec{\nabla}(\rho E \vec{V} + \vec{q}) &= -p \vec{\nabla} \vec{V} + (\vec{E} \cdot \vec{\nabla}) \vec{V} - \sum_{v=1}^{N_v} g_v I_v; \\ \frac{\partial \rho c_k}{\partial t} + \vec{\nabla}(\rho \vec{V} c_k) + \vec{\nabla} \vec{j}_k &= \dot{w}_k + \frac{W_k}{N_A} \left( \frac{g_{v+l} I_{v+l+l}}{h v_{v+l+l}} - \frac{g_v I_v}{h v_v} \right), \quad k=1\dots N_c; \\ p = \frac{\rho R T}{W}; \quad W = \left( \sum_{k=1}^{N_c} \frac{c_k}{W_k} \right)^{-1}; \quad E = \sum_k e_k c_k, \quad e_k = \int c_{vk}(T) dT + h_{k0} + e_k^{vib}; \\ h_k = h_{k0} + \int c_{pk} dT + e_k^{vib}; \quad \vec{q} = -\lambda \vec{\nabla} T + \sum_{k=1}^{N_c} h_k \vec{j}_k; \quad \vec{j}_k &= -\frac{\rho}{B_k} \vec{\nabla} c_k + \vec{\delta}_k; \\ \vec{\delta}_k = \frac{W c_k}{B_k} \sum_{i=1}^{N_c} \left( \frac{1}{W_i D_{ki}} - \frac{1}{W_k D_{kk}} \right) \vec{j}_i + \frac{\rho W c_k}{B_k} \vec{\nabla} \left( \frac{1}{W} \right); \quad B_k = \sum_i \frac{W}{W_i} \frac{c_i}{D_{ki}}. \end{aligned}$$

При расчёте генерации излучения используется условие квазистационарной генерации

$$\int_0^{L_a} g_v dz = -0.5 \ln(r_1 r_2).$$

Задача решалась в области  $0 \leq z \leq h^*$ ,  $r_0 \leq r \leq r^*$ . На плоскостях симметрии  $z=0$ ,  $z=h^*$  граничные условия имеют вид  $V_z=0$ ;  $\frac{\partial \rho}{\partial z} = \frac{\partial V_r}{\partial z} = \frac{\partial E}{\partial z} = \frac{\partial c_k}{\partial z} = 0$ . На границе  $r=r_0$  задавались профили переменных в выходных сечениях сопел  $f(r_0, z, t) = f_{z0}(z)$  для всех переменных задачи  $f$ . На границе  $r=r^*$  использованы "мягкие" граничные условия  $\frac{\partial^2 f}{\partial r^2} = 0$  для сверхзвукового течения.

Стационарное решение системы уравнений найдено разностным методом с использованием метода расщепления по физическим процессам и пространственным направлениям. Использована разностная схема с неявной аппроксимацией пространственных дифференциальных операторов со вторым порядком точности.

Ранее была, также, создана модель, основанная на параболизованных уравнениях Навье-Стокса в приближении "узкого канала". Ограничением этой модели является пренебрежение поперечным градиентом давления. Для определения диффузионных потоков в многокомпонентной смеси также использованы соотношения Стефана-Максвелла.

Все модели прошли необходимые тесты, выполнены сравнения с результатами расчётов по другим моделям, в том числе созданными в РНЦ "Прикладная химия" (Ротинян М.А., Стрелец М.Х., Шур М.Л и др.). Получено хорошее согласие результатов.

Выполнено сравнение результатов моделирования усилительных свойств активной среды и энергетических характеристик HF- и DF-НХЛ при использовании трёх наиболее известных кинетических моделей: Коэна и Ботта 1977 г. и 1982 г., Манке и Хагера 2001 г. Исследование показало, что:

- рекомендации по кинетике HF-НХЛ из обзора 2001 г. не вносят существенных изменений в результаты расчёта КУСС и энергетики по сравнению с кинетикой 1982 г.;
- наблюдается сильное отличие по результатам моделирования усилительных свойств среды и энергетических параметров HF- и DF-НХЛ кинетического пакета Коэна и Ботта 1976–77 года от пакета 1982 г. Для HF-НХЛ снижение максимального КУСС при замене полного набора констант 1982 г. набором 1977 г. на переходе 1-0 составляет в зависимости от режима и параметров со-пловой решётки ~35...60%, на переходе 2-1 от ~30 до ~40%. Для DF-НХЛ снижение максимального КУСС при замене полного набора констант 1982 г. набо-

ром 1977 г. на переходе 2-1 в зависимости от режима и параметров сопловой решётки составляет от ~15 до ~70%, на переходе 3-2 ~55...80%;

– снижение мощности излучения при замене кинетической модели 1982 г. на модель 1977 г. выражается десятками процентов, достигая для HF-НХЛ с некоторыми топливными композициями ~60%, для DF-НХЛ ~75%.

**Глава 2** посвящена исследованию энергетических характеристик сверхзвуковых непрерывных HF и DF-НХЛ, использующих горючее  $\text{CS}_2$  и окислитель  $\text{NF}_3$  в камере сгорания, в том числе двухдиапазонного HF-DF-НХЛ с одновременной генерацией излучения на молекулах HF ( $\lambda \sim 2.64\ldots 3.0$  мкм) и DF ( $\lambda \sim 3.7\ldots 4.05$  мкм). Формально состав реагентов в камере сгорания записывается в виде  $[\text{CS}_2] + 16\alpha/3 [\text{NF}_3] + 8A(\alpha-1)[\text{He}]$ , где  $\alpha$  – степень избытка окислителя относительно стехиометрического значения,  $A$  – степень избытка гелия. Применение в качестве первичного горючего в камере сгорания сероуглерода для реализации двухдиапазонного HF-DF-НХЛ обусловлено тем, что в продуктах сгорания отсутствуют молекулы HF и DF, поглощающие излучение в нижней колебательной полосе и являющиеся сильными релаксантами колебательно-возбуждённых молекул HF\* и DF\*.

В отличие от топливных композиций с традиционно используемым в НХЛ первичным горючим ( $\text{D}_2$ ,  $\text{H}_2$ ,  $\text{C}_2\text{H}_4$ ), при сгорании топливной композиции с горючим  $\text{CS}_2$  атомарный фтор помимо диссоциации избыточного трифторида азота образуется также в результате того, что при высокой температуре помимо  $\text{SF}_6$  в продуктах сгорания присутствуют молекулы  $\text{SF}_5$ ,  $\text{SF}_4$ ,  $\text{SF}_3$  и  $\text{SF}_2$  с высвобождением дополнительного атомарного фтора. Наличие дополнительного атомарного фтора существенно изменяет привычную для традиционных топливных композиций картину распределения мольной доли атомарного фтора  $x_F$  от  $\alpha$  с максимумом при некотором  $\alpha_{\text{опт}}$ . Для горючего  $\text{CS}_2$  оптимум отсутствует, количество F монотонно падает с увеличением  $\alpha$ . Таким образом, в отличие от НХЛ с традиционными топливными композициями в НХЛ с первичным горючим  $\text{CS}_2$  можно использовать смесь с малыми коэффициентами избытка окислителя  $\alpha$ .

Расчёты в области смешения струй выполнены по модели Навье-Стокса с использованием кинетики 1982–2001 г.

### Однодиапазонные HF- и DF-НХЛ

Исследование усилительных свойств активной среды и однодиапазонной генерации HF- и DF-НХЛ проведено для шага решётки соплового блока 6 мм. Показано, что значения КУСС достигают больших величин как в случае активной сре-

ды HF-НХЛ  $\sim 0.4$  см $^{-1}$ , так и DF-НХЛ  $\sim 0.07$  см $^{-1}$ . Это в 2-3 раза выше значений КУСС для HF- и DF-НХЛ с традиционным первичным горючим ( $D_2$ ,  $H_2$ ,  $C_2H_4$ ).

Выполнено исследование однодиапазонного режима генерации излучения при варьировании параметров топливной композиции в диапазоне  $\alpha = 1.1 \dots 2.0$ ,  $A = 4 \dots 18$ ,  $R_L = 24 \dots 68$  при изменении давления на срезе соплового блока от 3.5 до 15 Торр. Расчёты проведены для трёхпроходного резонатора Фабри-Перо (суммарная длина активной среды вдоль оптической оси 405 см) с оптимальным значением коэффициента пропускания выходного зеркала  $t_{HF} = t_{DF} = 0.4$ .

Максимальные значения мощности достигаются для обоих генераторов при повышенных по сравнению с лазерами на традиционных топливных композициях давлениях в зоне генерации  $p_{res} \sim 6 \dots 10$  Торр как при генерации на молекулах HF, так и на молекулах DF (на традиционных топливных композициях оптимальные давления лежат в диапазоне  $\sim 2 \dots 5$  Торр). Это существенно облегчает решение задачи выхлопа отработанных газов в окружающую атмосферу.

На рис. 1 показаны зависимости приведённой мощности, удельного энергосъёма, длины лазерной зоны и максимальной локальной интенсивности излучения на выходном зеркале резонатора HF-НХЛ от коэффициента избытка окислителя  $\alpha$  для давлений на срезе соплового блока  $p = 7$  Торр и 9 Торр. В широкой области изменения коэффициента избытка окислителя  $\alpha = 1.2 \dots 1.7$  достижимы высокие значения мощности и энергосъёма несмотря на существенную разницу в температуре, молекулярной массе и количестве атомарного фтора в камере сгорания. Это, в отличие от лазеров на традиционных топливных композициях, даёт возможность работать на пониженных расходах окислителя в камере сгорания. Оптимальным по мощности и энергосъёму в HF-НХЛ оказывается диапазон  $\alpha = 1.5 \dots 1.7$  с температурой смеси в камере сгорания  $T_k = 1250 \dots 1500$  К и молекулярной массой  $W_k = 13 \dots 15$  г/моль.

В работе показано, что при использовании топливной композиции в камере сгорания CS<sub>2</sub>-NF<sub>3</sub>-Не достижимы высокие значения приведённой мощности излучения. При использовании кинетической модели 1982 г. для сопловой решётки с шагом 6 мм в HF-НХЛ максимальная приведённая мощность  $P_{las} \sim 220$  Вт/см<sup>2</sup> при  $E_{y\delta} \sim 170$  Дж/г для режима  $\alpha = 1.75$ ,  $A = 10$ ,  $p_{res} = 9$  Торр (в DF-НХЛ –  $P_{las} \sim 150$  Вт/см<sup>2</sup> при  $E_{y\delta} \sim 110$  Дж/г); максимальный удельный энергосъём получен при низком давлении  $p_{res} = 3.2$  Торр: для HF-НХЛ  $E_{max} \sim 350$  Дж/г при  $P_{las} \sim 120$  Вт/см<sup>2</sup> для режима  $\alpha = 1.5$ ,  $A = 10$ , (в DF-НХЛ –  $E_{max} \sim 285$  Дж/г при  $P_{las} \sim 105$  Вт/см<sup>2</sup> для топлива  $\alpha = 1.5$ ,  $A = 12$ ).

При переходе с первичного горючего  $D_2$  на сероуглерод ожидается увеличение расчётной приведённой мощности HF-НХЛ на ~60% при использовании кинетики 1982 г. и на ~20% при использовании кинетики 1977 г.

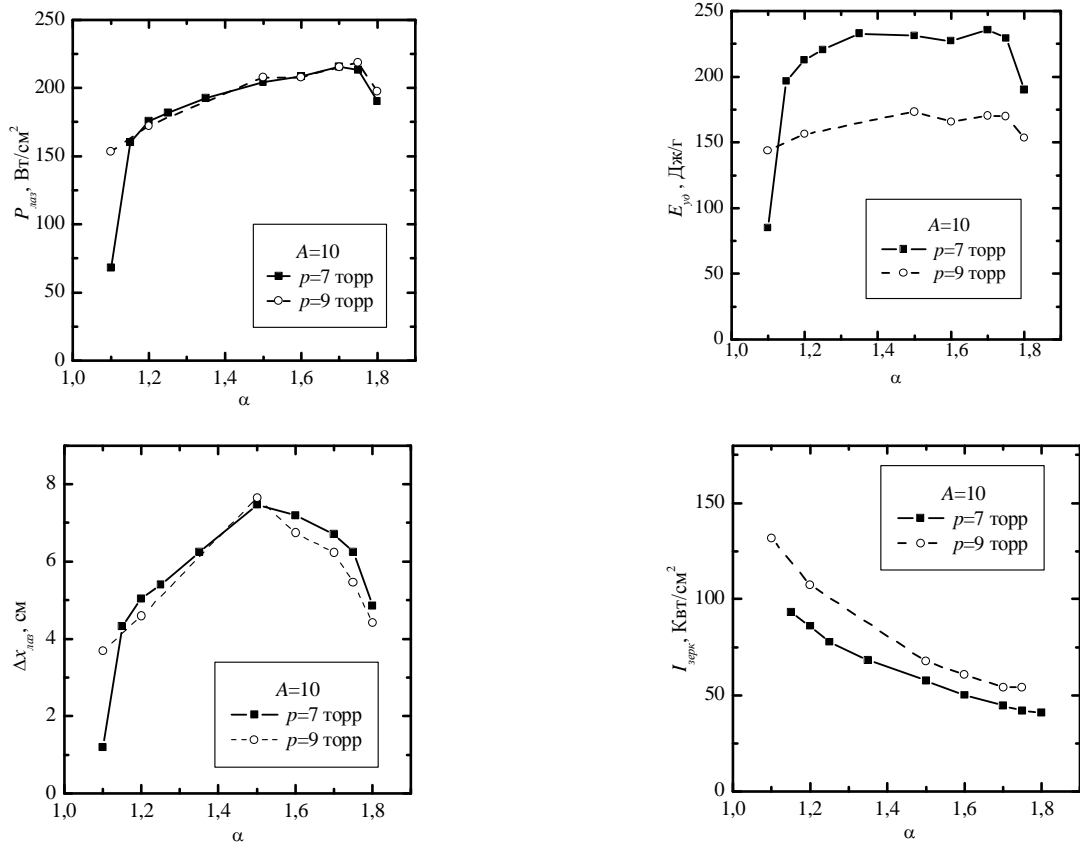


Рис. 1. Зависимости приведённой мощности  $P_{las}$ , удельного энергосъёма  $E_{yd}$ , длины лазерной зоны  $\Delta x_{laz}$  и максимальной локальной интенсивности излучения на зеркале резонатора  $I_{zerk}$  от  $\alpha$  для HF-НХЛ.  $A=10$ ;  $p_k=7$  и 9 Торр

### Двухдиапазонный HF-DF-HXL

Исследовалась возможность получения одновременной генерации излучения в двух спектральных диапазонах на молекулах HF и DF в НХЛ, использующем смесь  $H_2+D_2$  в качестве вторичного горючего. Расчёт генерации излучения HF-DF-HXL проводился для шага решетки соплового блока 7.5 мм. Расчёты проведены для активной среды длиной 80 см. Коэффициент пропускания выходного зеркала резонатора выбран средним  $t=20\%$  между оптимальными расчётными значениями для генерации на молекулах HF и DF (предполагалось, что параметры зеркал одинаковы для диапазонов частот излучения молекул HF и DF).

Состав топлива можно представить условной формулой:  $\{[CS_2] + 16\alpha/3[NF_3] + 8A(\alpha-1)[He]\}/8R_L(\alpha-1)\cdot\{(1-\psi_{H_2})[D_2]+\psi_{H_2}[H_2]\}$ , где  $\psi_{H_2}$  – относительное содержание молекул  $H_2$  в смеси с  $D_2$  ( $0 \leq \psi_{H_2} \leq 1$ ). Для изучения влияния соотношения

$\text{H}_2$ :  $\text{D}_2$  во вторичном горючем на параметры двухдиапазонной генерации выбран состав в камере сгорания, близкий к оптимальному по мощности однодиапазонной генерации  $\alpha=1.5$ ,  $A=12$ ,  $p_{res}=7$  Торр.

На рис. 2 показаны зависимости от мольного содержаниядейтерия во вторичном потоке приведённой мощности излучения на молекулах HF и на DF, а также удельного энергосъёма с грамма топлива и с грамма фтора для газодинамического режима  $\alpha=1.5$ ,  $A=12$ ,  $p_{res}=7$  Торр. Суммарные мощность и энергосъём убывают от величины мощности излучения на молекулах HF  $P_{las}\sim 130 \text{ Вт}/\text{см}^2$ , полученной при использовании в качестве вторичного горючего  $\text{H}_2$ , до мощности DF излучения  $P_{las}=80 \text{ Вт}/\text{см}^2$  при использовании только горючего  $\text{D}_2$ .

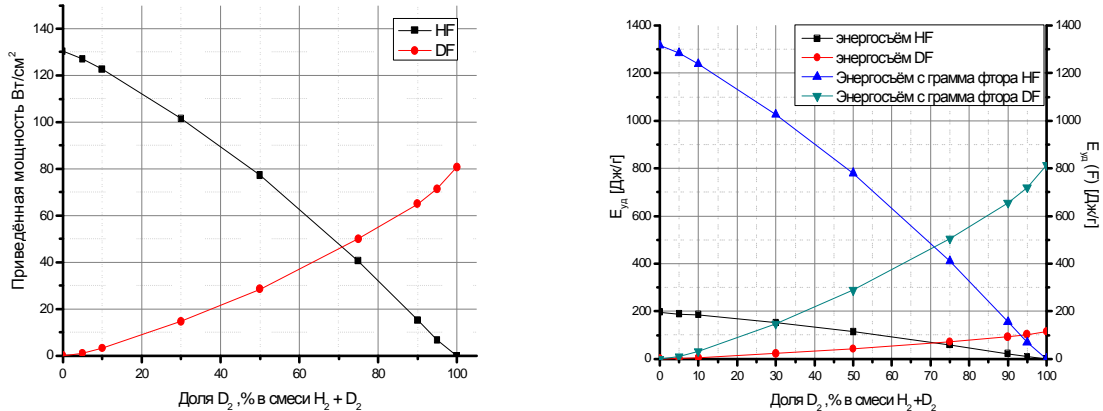


Рис. 2. Зависимость приведённой мощности  $P_{las}$ , удельного энергосъёма с грамма топливной смеси  $E_yd$  и с грамма фтора  $E_{Fy_d}$  от соотношения  $\text{H}_2$  и  $\text{D}_2$  во вторичном горючем.  $\alpha=1.5$ ,  $\psi=12$ ;  $p=7$  Торр.

Таким образом, использование в НХЛ сероуглерода в качестве первичного горючего позволяет получать эффективную одновременную генерацию излучения на молекулах HF и DF.

В главе 3 выполнено теоретическое исследование двухдиапазонного сверхзвукового HF-HBr-НХЛ с одновременной генерацией на молекулах HF и HBr. Интерес к химическому HBr-лазеру обусловлен тем, что его излучение попадает в "окно прозрачности" атмосферы  $\lambda \sim 4.2$  мкм. Для получения одновременной генерации излучения на молекулах HF и HBr выбрана схема с использованием традиционного HF-НХЛ, в котором во вторичное горючее к молекулярному водороду добавлялись молекулы Br<sub>2</sub>.

Создана кинетическая модель активной среды HF-HBr-НХЛ. Выполнено тестирование модели лазера путём сравнения с экспериментом Миллера и др., где исследовался малоразмерный лабораторный сверхзвуковой HF-HBr-лазер.

Получено хорошее согласие результатов по мощности излучения и по оптимальному разбавлению вторичного горючего бромом.

На основе полной системы уравнений Навье-Стокса выполнено моделирование HF-HBr-HХL с шагом щелевой сопловой решётки 7 мм. Использовалась топливная композиция  $[D_2]+\alpha[F_2]+A(\alpha-1)[He]/R_L(\alpha-1)\{(1-\psi_{Br_2})[H_2]+\psi_{Br_2}[Br_2]\}$  при  $\alpha=1.4$ ,  $A=10$ ,  $R_L=35$ , приведённого расхода окислительного потока  $0.36 \text{ г/см}^2/\text{с}$ , статического давления у среза соплового блока  $p \sim 5 \text{ Торр}$ .

Добавление брома во вторичное горючее приводит к сильному повышению температуры в силу цепного характера протекающих экзотермических реакций. Это приводит для режимов с разбавлением  $\psi_{Br_2} > 0.03$  к образованию прямого скачка уплотнения, в котором достигается максимальная температура  $\sim 2000 \text{ К}$  (без брома температура в потоке не превышает  $900\text{K}$ ).

Усилильные свойства среды на частотах HBr существенно слабее, чем на частотах HF вследствие малости коэффициентов Эйнштейна и в силу малой концентрации колебательно возбуждённых молекул HBr\*. Для состава газа в камере сгорания  $\alpha=1.4$ ,  $A=10$  при  $p_{res}= 5 \text{ Торр}$  максимальные значения КУСС на HBr достигаются при разбавлениях вторичного горючего бромом  $\psi_{Br_2} \sim 0.02\dots 0.04$ . При увеличении разбавления выше 4% усилильные свойства HBr-лазера заметно ухудшаются вследствие сильного тепловыделения и утяжеления потока. При оптимальном мольном содержании брома во вторичном горючем  $\sim 2.5\%$  максимальный по среде усреднённый поперёк потока коэффициент усиления слабого сигнала (КУСС) на HBr составляет  $\sim 0.015 \text{ см}^{-1}$  в полосе  $P_3$  при длине зоны усиления  $\sim 10 \text{ см}$  (максимальный КУСС на частотах HF  $\sim 0.11 \text{ см}^{-1}$ ).

Повышение температуры в лазерной зоне при добавлении брома во вторичное горючее снижает КУСС и укорачивает зону усиления на частотах HF. Так, при 4%-ном разбавлении вторичного потока бромом максимальный усреднённый КУСС снижается с  $\langle g_{max}^{HF} \rangle \sim 0.11 \text{ см}^{-1}$  (без разбавления) до  $\langle g_{max}^{HF} \rangle \sim 0.09 \text{ см}^{-1}$ .

Исследовался режим генерации для плоского соплового блока с длиной активной среды  $L_a = 50 \text{ см}$ . Параметры зеркал резонатора выбраны близкими к оптимальным для достижения максимальной мощности генерации на HBr: коэффициент отражения глухого зеркала  $r_1 = 0.99$ , коэффициент пропускания выходного зеркала  $t_2 = 0.07$ , коэффициент потерь на выходном зеркале 0.5%. Предполагалось, что такие зеркала для одновременной генерации могут быть изготовлены с использованием технологии нанесения многослойных диэлектрических покрытий.

На рис. 3 в качестве примера показано спектральное распределение мощности выходного излучения для  $\Psi_{\text{Br}_2} = 0.04$ . Спектр излучения на частотах молекулы HBr гораздо богаче, чем на частотах HF, генерация наблюдается в линиях P<sub>1</sub>(3...8), P<sub>2</sub>(4...11), P<sub>3</sub>(4...12) и P<sub>4</sub>(5...10) (генерация на HF – в линиях P<sub>1</sub>(7...12), P<sub>2</sub>(7...11), P<sub>3</sub>(7...8)).

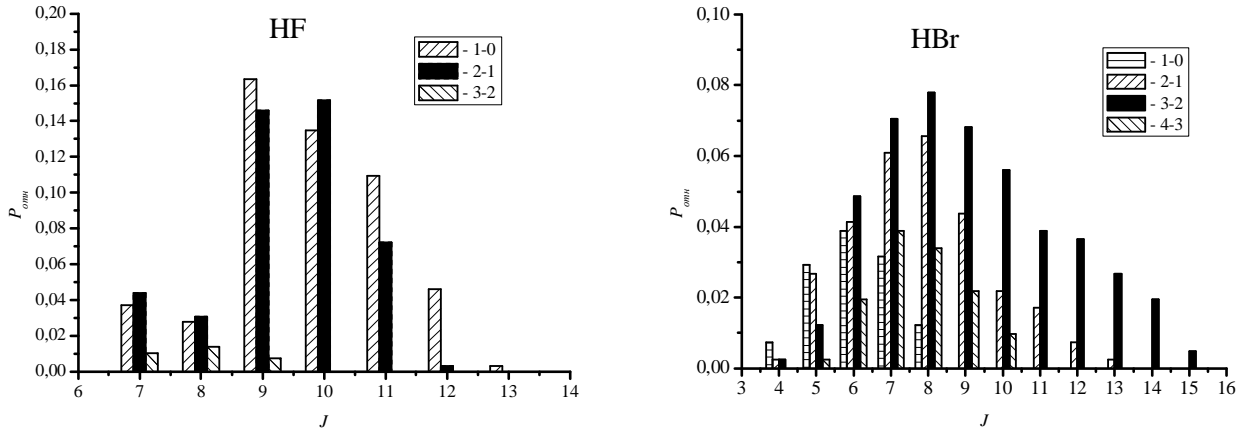


Рис. 3. Спектральное распределение излучения в колебательных полосах молекул HF и HBr для 4%-ного разбавления бромом

На рис. 4 показаны зависимости суммарной приведённой мощности и длины лазерной зоны  $\Delta x_{las}$  на частотах HF и HBr от коэффициента разбавления вторичного горючего бромом. Приведенная мощность излучения на HBr достаточно слабо зависит от  $\Psi_{\text{Br}_2}$  в диапазоне 0.01...0.04, максимальное значение  $\sim 20 \text{ Вт}/\text{см}^2$  достигается при  $\Psi_{\text{Br}_2} \approx 0.025$ , при этом длина зоны генерации  $\sim 15 \text{ см}$  (мощность в полосе HF для режима без разбавления бромом  $P_{las}^{\text{HF}} \sim 105 \text{ Вт}/\text{см}^2$ ). Зона генерации в полосах HBr существенно протяжённее, чем у HF-лазера, вследствие более слабой релаксации колебательно возбуждённых молекул HBr(v).

Переход от плоской конструкции соплового блока к цилиндрической (секторной) позволяет снизить давление и температуру в активной среде, что благоприятно сказывается на энергетических свойствах лазера.

На рис. 5 для 2%-ного и 5%-ного разбавления приведены суммарная приведённая мощность и длина лазерной зоны  $\Delta x_{las}$  на частотах HF и HBr в зависимости от кривизны соплового блока  $1/r_0$ . Мощность излучения на частотах HF растёт почти пропорционально кривизне соплового блока независимо от коэффициента разбавления  $\Psi_{\text{Br}_2}$ . Мощность же на HBr имеет максимум при некоторой кривизне блока, который смещается в сторону меньших  $r_0$  при увеличении разбавления  $\Psi_{\text{Br}_2}$ . При радиусе соплового блока  $r_0 = 10 \text{ см}$  для количества брома

$\Psi_{Br_2} = 5\%$  мощность излучения увеличивается приблизительно в 1.5 раза в обоих спектральных диапазонах по сравнению с плоским сопловым блоком, на HBr приведённая мощность достигает  $\sim 30$  Вт/см<sup>2</sup>.

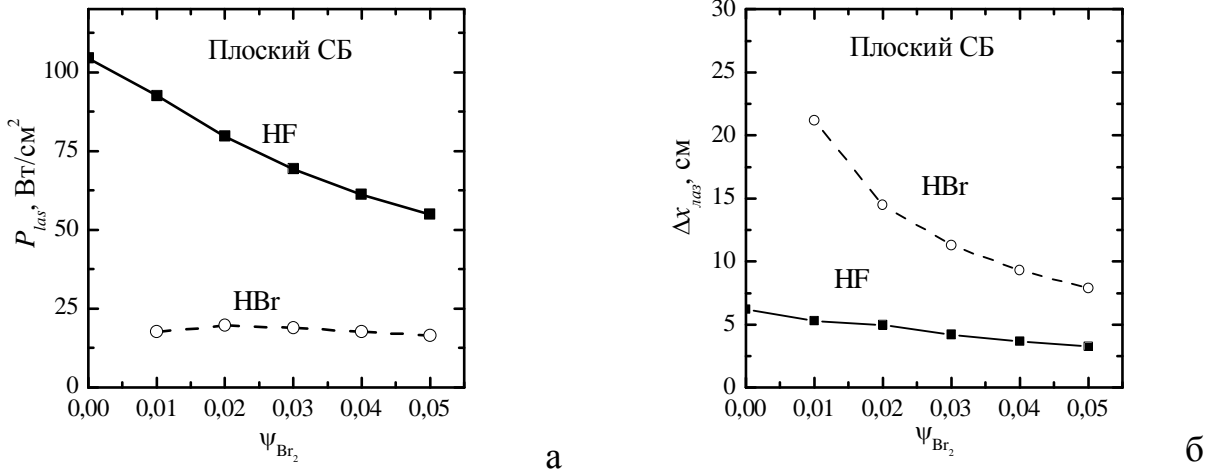


Рис. 4. Зависимость от степени разбавления  $\Psi_{Br_2}$  приведённой мощности излучения  $P_{las}$  (а) и длины лазерной зоны  $\Delta x_{las}$  (б) на частотах HF и HBr

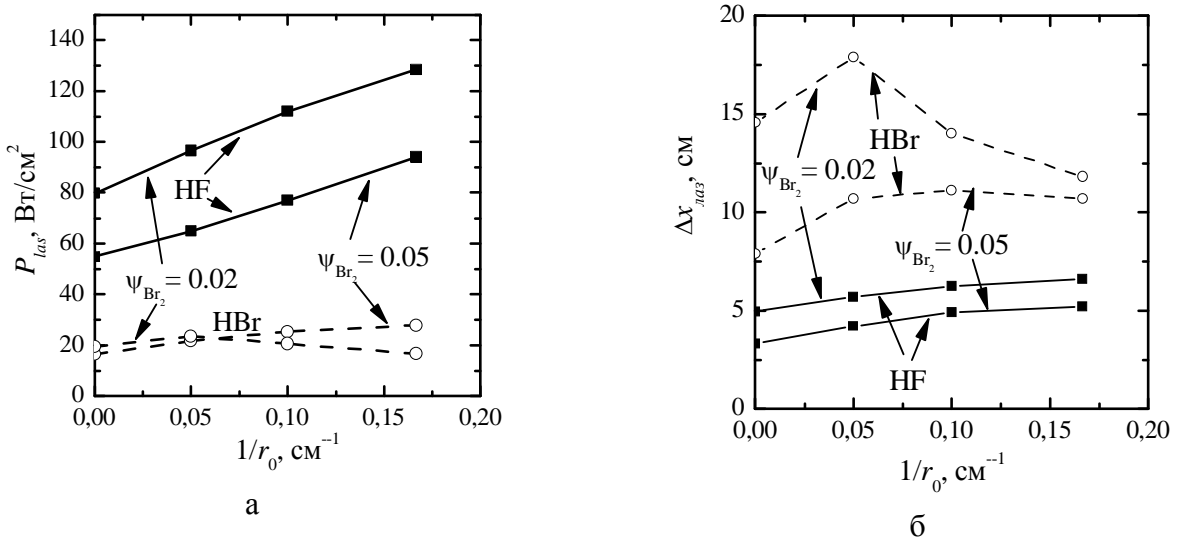


Рис. 5. Зависимость приведённой мощности (а) и длины лазерной зоны (б) от кривизны соплового блока для  $\Psi_{Br_2} = 2\%$  и  $\Psi_{Br_2} = 5\%$

Длина зоны генерации на HBr имеет максимум при некотором радиусе соплового блока. При больших радиусах соплового блока зона генерации и мощность падают вследствие сильного разряжения потока и, соответственно, малости КУСС в зоне активного образования молекул HBr. Зона генерации на молекулах HF с увеличением кривизны растёт не очень сильно по сравнению с HBr.

**Глава 4** посвящена теоретическому сравнению параметров генерации на основном тоне и на обертонных колебаниях в сверхзвуковом непрерывном HF-лазере с плоской конструкцией щелевого соплового блока. Двукратное уменьшение длины волны излучения при переходе от традиционного HF-НХЛ к обертонному лазеру даёт ряд преимуществ: улучшение прохождения излучения в атмосфере вследствие меньшего поглощения парами воды; снижение вдвое дифракционного предела расходимости излучения ( $\sim\lambda$ ), увеличения вчетверо яркости в дальней зоне ( $\sim\lambda^{-2}$ , при равной выходной мощности и апертуре), более сильное поглощение излучения на поверхности металлов.

При исследовании HF-НХЛОТ расчёты течения в соплах и в зоне генерации проведены по двумерной модели "узкого канала". За основу взят "щелевой" сопловой блок, разработанный в НПО "Энергомаш". Сопловая решётка имеет размер вдоль оси резонатора  $L_a = 40$  см. Шаг решётки варьировался от 4 мм до 7.5 мм, соотношение выходных сечений сопел окислителя и горючего 3:1, степень расширения окислительных сопел 17.

Исследовалась традиционная топливная композиция HF-лазера  $\{[D_2]^+ \alpha[F_2] + A(\alpha-1)[He] / R_L(\alpha-1)[H_2]\}$ . Рассматривались различные варианты состава топлива в камере сгорания:  $\alpha=1.4\dots1.8$ ,  $A=10\dots17$  при статическом давлении на срезе соплового блока  $p_{res} \sim 2\dots9$  Торр.

#### Усилиательные свойства активной среды

Исследование показало, что КУСС на обертонных переходах в 70...80 раз ниже, чем на основном тоне. Максимальные значения получены для шага решётки 4 мм при низких давлениях  $p_{res} \sim 2$  Торр для топлива в камере сгорания  $\alpha=1.8$ ,  $A=17 - g_{2-0}^{\max} \sim 4 \cdot 10^{-3} \text{ см}^{-1}$ ,  $g_{3-1}^{\max} \sim 10^{-3} \text{ см}^{-1}$  (при кинетике 1982 г.). На основных переходах максимальные значения КУСС получены для этого же газодинамического режима: в полосе  $P_1 - g_{1-0}^{\max} \sim 0.23 \text{ см}^{-1}$ , в полосе  $P_2 - g_{2-1}^{\max} \sim 0.28 \text{ см}^{-1}$ . Слабые усиливательные свойства активной среды на обертоне делают необходимым использование резонаторной оптики с высоким коэффициентом отражения, обеспечивающим низкое значение порогового коэффициента усиления на частотах обертона.

Поведение КУСС в зависимости от режимных параметров очень похожее для основного тона и для обертона. Максимальные значения КУСС на основном тоне и на обертоне достигаются при одинаковых составах топлива  $\alpha=1.8$ ,  $A=10\dots14$  для всех шагов решётки щелевого соплового блока. Это легко объяснимо – если достигается сильная инверсия на основных переходах, то и на обертонах.

ных переходах инверсия будет сильной, так как накачка в холодной реакции происходит в основном на уровнях  $v=2, 3, 4$ .

Зависимость КУСС от коэффициента разбавления гелием  $A$  достаточно слабая при  $A < 17$ . При больших разбавлениях  $A > 17$  КУСС резко спадает ввиду уменьшения количества активных центров.

С уменьшением шага решётки значения КУСС растут по величине, а зона усиления укорачивается в связи с интенсификацией перемешивания струй. Переход от шага решётки 7 мм к шагу 4 мм повышает КУСС примерно в 2 раза во всех колебательных полосах.

Полученные данные по коэффициенту усиления хорошо согласуются с экспериментальными данными российских и американских авторов.

### Энергетические характеристики HF-НХЛ

При исследовании параметров генерации в HF-НХЛОТ полагалось, что резонатор Фабри-Перо имеет идеальные селективные зеркала, так что генерация на основном тоне полностью подавлена и не оказывает влияния на обертонную генерацию. В расчётах HF-НХЛ рассматривался однопроходный резонатор с длиной активной среды  $L_a = 40$  см, потери в зеркалах на основном тоне  $a_1 = a_2 = 1\%$ , в обертонном лазере  $a_1 = a_2 = 0.1\%$ . Получены оптимальные коэффициенты пропускания выходного зеркала в основном тоне  $t_2 = 0.15$  и на обертоне  $t_2 = 0.07$ . Основные расчёты проведены для соплового блока с шагом решётки 7 мм.

В большинстве расчетов отмечена генерация на обертонных переходах в линиях  $P_{2-0}(3\dots7)$ ,  $P_{3-1}(4\dots6)$ , на основном тоне – на переходах  $P_1(4\dots10)$ ,  $P_2(4\dots10)$ ,  $P_3(5\dots9)$ . На рис. 6 показано спектральное распределение мощности выходного излучения (в отн. ед.) для сопловой решётки с шагом 7 мм в основных и обертонных полосах для газодинамического режима  $\alpha = 1.8$ ,  $A = 14$ ,  $p_{res} = 5$  Торр. Полученный спектр генерации на обертоне хорошо согласуется с экспериментами, проведёнными в РНЦ “Прикладная химия”, где в разных работах наблюдалась линии  $P_{2-0}(3\dots6)$ ,  $P_{2-0}(4\dots6)$ ,  $P_{2-0}(5\dots7)$ , а также с работами американских исследователей (Duncan W. et al), проведёнными на HF-НХЛ с сопловым блоком типа HYLTE, в которых спектр обертонной генерации состоял из 4–5 линий с пиком мощности при  $J = 6$  и 7.

Оптимальным давлением с точки зрения достижения максимальной мощности на основном тоне практически для всех расходных параметров оказался диапазон  $p_{res} \sim 5\dots6$  Торр. Влияние массового расхода на мощность обертонной генерации несколько отличается от картины для основного тона – наблюдается снижение мощности с увеличением давления, наиболее предпочтительными

практически для всех составов газа являются низкие давления  $p_{res} \sim 2$  Торр. Это подтверждается экспериментальными данными, полученными в РНЦ “Прикладная химия”, где наблюдалось падение мощности обертонной генерации с увеличением массового расхода реагентов через генератор атомарного фтора. Аналогичные результаты получены в экспериментах и американскими авторами в HF-НХЛОТ с сопловым блоком типа HYLTE.

Длина зоны генерации на обертоне монотонно уменьшается с ростом давления для всех газодинамических режимов. При увеличении давления от 2 до 9 Торр длина обертонной генерации монотонно уменьшается с  $\sim 4.0$  см до  $\sim 1.2$  см.

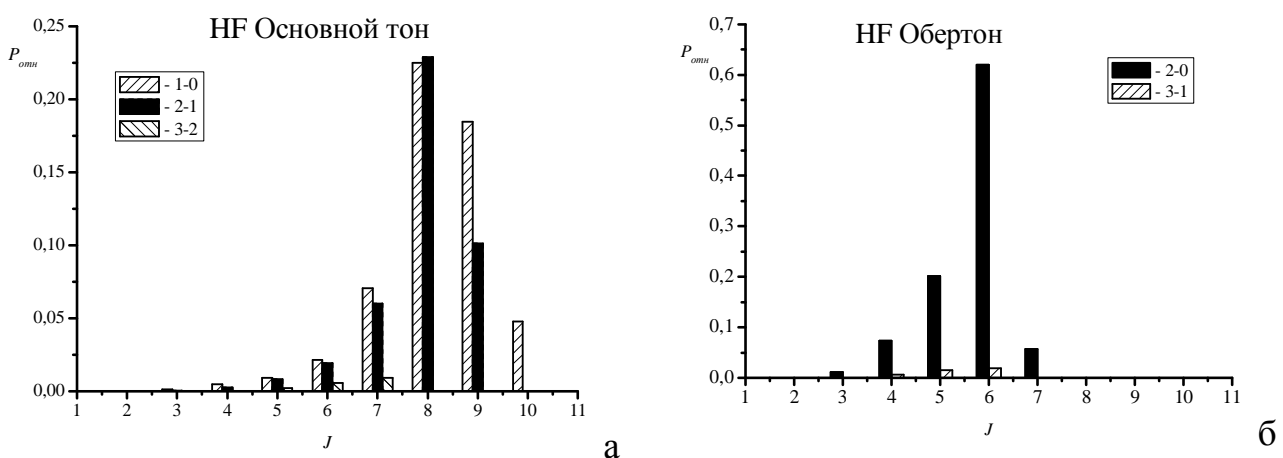


Рис. 6. Спектральное распределение излучения HF на основных (а) и обертонных (б) колебательно-вращательных переходах.  $d = 7$  мм,  $\alpha = 1.8$ ,  $A = 14$ ,  $p_{res} = 5$  Торр

Эффективность преобразования в обертонную генерацию в области оптимальных по мощности расходов для основного тона минимальна, и резко возрастает при уменьшении давления в среде, т.е. в области максимальной мощности обертонной генерации. При давлении в активной среде  $p_{res} \sim 2$  Торр эффективность преобразования  $\eta$  достигает  $\sim 50\%$ . Такая величина эффективности преобразования была получена в эксперименте, проведённом в РНЦ “Прикладная химия”.

Поведение мощности и удельного энергосъёма в зависимости от  $\alpha$  и  $A$  для основного тона и обертона очень похожее. В рассмотренных вариантах HF-НХЛ оптимальные значения состава топлива в камере сгорания для достижения максимальной мощности в основном тоне и обертоне одинаковы  $\alpha = 1.8$ ,  $A = 8 \dots 14$  для диапазона давлений на срезе соплового блока от 2 до 9 Торр. Этот результат согласуется со многими экспериментами, в которых оптимальные режимы для основного тона и обертона также совпадают (напр. Duncan W. et al, 1992 г.; Carroll D.L. et al, 2002 г.).

В HF-НХЛ с шагом соплового блока  $d= 7$  мм для состава топлива  $\alpha=1.8$ ,  $A=8$  максимальная приведённая мощность на обертоне составила  $P_{las} \sim 35$  Вт/см<sup>2</sup>, удельный энергосъём  $E_{yd} \sim 190$  Дж/г при давлении  $p_{res}= 2$  Торр, эффективность преобразования в обертонную генерацию  $\eta \sim 50\%$ .

Проведено исследование зависимости энергетики HF-НХЛОТ от шага решётки  $d$ . С увеличением шага решётки  $d$  энергетические показатели монотонно падают для всех режимов. При уменьшении шага решётки с 7 мм до 4 мм мощность HF-НХЛОТ для режима  $\alpha= 1.8$ ,  $A= 17$ ,  $p_{res} = 5$  Торр возрастает в 2.2 раза с 25 до 55 Вт/см<sup>2</sup>. При давлении в среде ~2 Торр эффективность преобразования в обертонную генерацию возрастает с 37% до 46%.

### Основные результаты работы

1. Созданы численные модели расчёта параметров активной среды и энергетических характеристик НХЛ с плоской и кольцевой конфигурацией соплового блока в одно- и двухдиапазонном режиме генерации излучения в основных и обертонных колебательных полосах молекул HF, DF и HBr.

2. В рамках полной системы уравнений Навье-Стокса выполнено теоретическое исследование усиительных свойств и энергетических параметров однодиапазонных HF-, DF-НХЛ и двухдиапазонного HF-DF-НХЛ при использовании топливной композиции в камере сгорания CS<sub>2</sub>-NF<sub>3</sub>-He. Показано, что при использовании сероуглерода в качестве первичного горючего

- коэффициенты усиления слабого сигнала (КУСС) в активной среде HF-НХЛ и DF-НХЛ в 2-3 раза превышают значения КУСС для традиционного первичного горючего (D<sub>2</sub>, H<sub>2</sub>, C<sub>2</sub>H<sub>4</sub>);

- в широкой области изменения коэффициента избытка трифтторида азота  $\alpha \sim 1.2 \dots 1.7$  достижимы высокие значения мощности и энергосъёма;

- максимальные значения мощности достигаются при повышенных (по сравнению с лазерами на традиционных топливных композициях) давлениях в начале лазерной зоны  $p_{res} \sim 6 \dots 10$  Торр как для HF-НХЛ, так и для DF-НХЛ, что существенно облегчает решение задачи выхлопа отработанных газов в окружающую атмосферу (для традиционного горючего оптимальные давления  $p_{res} \sim 3 \dots 5$  Торр);

- показана возможность получения эффективной одновременной генерации излучения на молекулах HF и DF.

3. Создана кинетическая модель активной среды HF-HBr-HXL, генерирующего излучение одновременно в двух спектральных диапазонах на колебательно-вращательных переходах молекул HF и HBr.

4. В рамках полной системы уравнений Навье-Стокса выполнено исследование энергетических характеристик двухдиапазонного HF-HBr-HXL с топливной композицией ( $D_2$ ,  $F_2$ , He) / ( $H_2$ ,  $Br_2$ ). Показано, что

- усиительные свойства среды на частотах HBr значительно слабее, чем на частотах HF; при оптимальном мольном содержании брома во вторичном горючем ~2.5% максимальный по среде усреднённый поперёк потока КУСС составляет ~0.015  $\text{см}^{-1}$  в полосе  $P_3$  при длине зоны усиления ~15 см (максимальный КУСС на частотах HF ~0.11  $\text{см}^{-1}$ );

- в спектре генерации на частотах HBr наблюдаются линии  $P_1(3\dots8)$ ,  $P_2(4\dots11)$ ,  $P_3(4\dots12)$  и  $P_4(5\dots10)$ ;

- максимальная приведённая мощность генерации на молекулах HBr  $P_{las}^{\text{HBr}} \sim 20 \text{ Вт/см}^2$  достигается при оптимальном содержании брома во вторичном горючем (водороде) ~2.5% (приведённая мощность в полосе HF для режима без разбавления бромом  $P_{las}^{\text{HF}} \sim 105 \text{ Вт/см}^2$ );

- переход от плоской конструкции соплового блока к цилиндрической (секторной) позволяет значительно повысить энергетические характеристики генерации в полосе HBr; так, при радиусе соплового блока  $r_0 = 10 \text{ см}$  приведённая мощность излучения на молекулах HBr увеличивается в 1.5 раза по сравнению с плоским сопловым блоком, достигая значения  $P_{las}^{\text{HBr}} \sim 30 \text{ Вт/см}^2$  для 5%-ного разбавления вторичного горючего бромом.

5. Выполнено теоретическое исследование усиительных свойств и энергетических параметров HF-HXL на обертонных переходах ( $\lambda_{\text{HF}}^{\text{OT}} \sim 1.25\dots1.45 \text{ мкм}$ ) для топливной композиции ( $D_2-F_2-\text{He}/H_2$ ). Показано, что

- коэффициент усиления слабого сигнала (КУСС) на первом обертоне в активной среде HF-HXL в 70...80 раз ниже, чем на основном тоне;

- максимальные значения коэффициентов усиления слабого сигнала, мощности и удельного энергосъёма при генерации на первом обертоне молекулы HF достигаются при тех же составах топлива в камере сгорания, что и при генерации на основном тоне в диапазоне давлений на срезе соплового блока от 2 до 9 Торр; для исследуемых в данной работе сопловых блоков оптимальные составы соответствуют коэффициенту избытка фтора  $\alpha \sim 1.8$ , коэффициентам разбавления гелием  $A \sim 8\dots14$ ;

- максимальные значения энергосъёма и эффективности преобразования в обертонную генерацию достигаются при низком давлении в активной среде  $p_{res} \sim 2$  Торр практически для всех составов топливной композиции в камере сгорания;
- в HF-НХЛОТ с шагом сопловой решётки 7 мм получены максимальные значения приведённой мощности  $P_{las} \sim 35 \text{ Вт/см}^2$ , удельного энергосъёма  $E_{y\partial} \sim 190 \text{ Дж/г}$ , эффективности преобразования в обертонную генерацию ~50% для состава топлива  $\alpha=1.8$ ,  $A=8$ ,  $R_L=18$ ;
- уменьшение шага решётки с 7 мм до 4 мм приводит к возрастанию КУСС вдвое, мощности генерации – в 2.2 раза, эффективности преобразования в обертонную генерацию на 25%.

### **Список публикаций соискателя по теме диссертации**

1. Александров Б.П., Второва Н.Е., Исаева Л.Д., Щеглов В.А. Непрерывный сверхзвуковой химический лазер на первом обертонае молекулы HF // Квантовая электроника. 1994. Т.21. №5. СС.409–413.
2. Александров Б.П., Степанов А.А., Щеглов В.А. Энергетические возможности импульсно-периодического режима работы сверхзвукового непрерывного HF-лазера // Квантовая электроника. 1996. Т. 23. №6. СС.490–494.
3. Александров Б.П., Степанов А.А., Щеглов В.А. Модель расчета течения газа в мелкомасштабных соплах непрерывных химических лазеров // Квантовая электроника. 1997. Т.24. №2. СС.163–168.
4. Александров Б.П., Степанов А.А. Численная модель двухчастотного химического лазера непрерывного действия на молекулах HF и HBr // Труды НПО Энергомаш. М: – 2001. Т.19. СС.318-334.
5. Александров Б.П., Башкин А.С., Безноздрев В.Н. Особенности оптической схемы установок на основе DF-НХЛ // Материалы IV Харитоновских научных тематических чтений “Физика лазеров. Взаимодействие лазерного излучения с веществом”. 2002. Саров. 18–21 февраля.
6. Александров Б.П., Башкин А.С., Безноздрев В.Н. Оптимизация основных параметров оптической схемы лазерных установок на основе DF-НХЛ с различной мощностью излучения // Труды НПО Энергомаш. М: 2002. №20. СС.312–331.
7. Александров Б.П., Башкин А.С., Безноздрев В.Н. К вопросу о выборе путей достижения высокой направленности излучения лазерной установки на основе крупноразмерного HF(DF)-НХЛ // Труды НПО Энергомаш. М: 2004. Т.22. СС.256–277.
8. Александров Б.П., Степанов А.А. Численная модель HF-НХЛ с трёхструйным сопловым блоком // Труды НПО Энергомаш. М: 2004. Т.22. СС.278–294.

9. Александров Б.П., Степанов А.А. Сравнение наиболее известных кинетических моделей по их влиянию на расчётные параметры HF (DF)-HXЛ // Труды НПО Энергомаш. М: 2005. т.23. СС. 332–351.
10. Александров Б.П., Безноздрев В.Н., Парфеньев М.В. и др. Энергетические возможности двухчастотного HF-DF-HXЛ с одновременной генерацией излучения на молекулах HF и DF // Труды НПО Энергомаш. М: 2007. Т.25, СС.423–434.
11. Александров Б.П., Степанов А.А. Исследование HF(DF)-HXЛ при разбавлении вторичного горючего инертными газами на основе полной системы уравнений Навье-Стокса // Труды НПО Энергомаш. М: 2007. Т.25. СС.435–448.
12. Aleksandrov B.P., Stepanov A.A. Numerical Simulation of Double-Band cw HF-HBr Chemical Laser // Proc. of SPIE. 2007. V.6735. P.6735-09.
13. Aleksandrov B.P., Stepanov A.A. Comparison of Well-Known Kinetic Models by the cw HF and DF Chemical Lasers Numerical Simulation // Proc. of SPIE. 2007. V.6735. P.6735-0A.
14. Александров Б.П., Каторгин Б.И., Степанов А.А. Моделирование двухдиапазонного непрерывного химического лазера на молекулах HF и HBr // Квантовая электроника. 2008. Т.38. №10. СС.903-908.
15. Александров Б.П., Каторгин Б.И., Степанов А.А. О путях повышения энергетических параметров HF-HBr-HXЛ // Труды НПО Энергомаш. М: 2008. Т.26. СС.271–281.
16. Александров Б.П., Степанов А.А. Энергетические возможности HF- и DF-HXЛ при использовании в качестве горючего сероуглерода // Труды НПО Энергомаш. М: 2008. Т.26. СС.298–313.